

План

1. Побудова епюр при згині без навантаження.
2. Побудова епюр з рівномірно-розміщеним навантаженням.

Чистим згином називають такий вид деформації, при якому в будь-якому поперечному перерізі бруса виникає тільки *згинаючий момент*. Деформація чистого згину буде, наприклад, тоді, коли до прямого бруса в площині, яка проходить через вісь, прикласти дві однакові за величиною і протилежні за знаком пари сил. На згин працюють балки, осі, вали й інші деталі конструкцій (означення балки відоме з теоретичної механіки). Надалі майже завжди розглядатимемо такі бруси, в яких є хоча б одна площина симетрії і з нею збігається площина дії навантажень. У цьому випадку деформація згину відбувається в площині дії зовнішніх сил і згин називають прямим, на відміну від косого згину, який розглянуто в останньому параграфі цього розділу.

Вивчаючи деформації згину, уявлятимемо, що балка складається з незліченної кількості волокон, паралельних осі. Щоб мати уявлення про деформацію згину, поставимо два досліди:

1. Балку, що вільно лежить на двох опорах і має на верхньому і нижньому боках пази, в які вставлено точно підігнані за розміром пазів бруски, піддамо деформації згину (рис. 23.1). У результаті цього бруски, які містяться на опуклому боці, випадуть з пазів, а бруски, які містяться на вгнутому боці, виявляться затиснутими.

2. На бокову поверхню призматичного гумового (для більшої наочності) бруса прямокутного перерізу нанесемо сітку поздовжніх і поперечних прямих ліній і піддамо цей брус деформації чистого згину (рис. 23.2).

У результаті побачимо, що:

а) поперечні прямі лінії під час деформації залишаться прямими, але повернуться назустріч одна одній;

б) поздовжні прямі лінії, а також вісь бруса викривляться;

в) перерізи бруса стануть ширшими в поперечному напрямі на вгнутому боці і звужаться на опуклому боці.

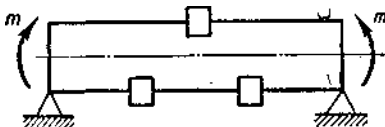


Рис. 23.1

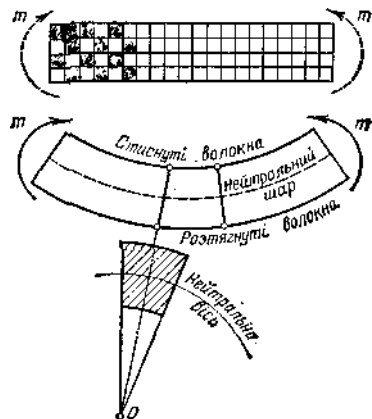


Рис. 23.2

З описаних дослідів можна зробити висновок, що для чистого згину дійсна гіпотеза плоских перерізів', волокна, які лежать на опуклому боці, розтягуються, а ті, що лежать на вгнутому боці — стискаються. На межі між ними лежить нейтральний шар волокон, які тільки викривляються, не змінюючи своєї довжини. Приймаючи дійсною гіпотезу про ненависання волокон, можна стверджувати, що при чистому згині з поперечних перерізах бруса виникають тільки нормальні напруги, розтягу і стиску, які нерівномірно розподілені по перерізу.

Викривлення волокон І осі бруса відбувається внаслідок нерівномірного розподілу нормальних напруг по поперечному перерізу. Лінію перетину нейтрального шару з площиною поперечного перерізу називають нейтральною віссю. На нейтральній осі нормальні напруги дорівнюють нулю.

11.4. Побудова епюр поперечних зусиль і згинальних моментів

Епюрами поперечних зусиль Q та згинальних моментів M називаються графіки їх зміни (розподілу) вздовж осі балки за її довжиною. Побудова епюр виконується, як правило, одним з трьох методів: *аналітичним*, *за характерними точками* та *інтегральним*. В усіх випадках спочатку визначають реакції опор, які надалі враховують як зовнішні сили. Методи відрізняються способом обчислення величин поперечних зусиль і згинальних моментів у *характерних перерізах*, якими є границі ділянок та перерізи, де поперечне зусилля змінює знак у межах ділянки. Останнє можливе при наявності розподіленого навантаження. В *сингулярних перерізах*, де діють зосереджені навантаження або моменти, на епюрах виникають розриви (стрибки). Тому необхідно визначати зусилля ліворуч і праворуч від перерізу.

Розглянемо порядок побудови епюр Q та M для найхарактерніших випадків навантажування балок.

11.4.1. Зосереджена сила на вільному кінці консолі

Якщо на вільному кінці B консолі AB зосереджена вертикальна сила P (рис. 11.14), то балка має лише одну ділянку. Початок координат вибираємо в крайній лівій точці A балки, вісь X напрямляємо вздовж осі балки праворуч.

Визначимо Q та M у довільному перерізі K з абсцисою x . Праворуч від перерізу, що розглядається, діє тільки одна сила P , тому:

$$Q(x) = P; \quad M(x) = -P \cdot KB = -P \cdot (l - x). \quad (11.8)$$

Із цих рівнянь випливає, що поперечна сила однакова в усіх перерізах балки, тому епюра Q має вигляд прямокутника. Функція $M(x)$ лінійна. Для побудови її епюри досить знайти дві точки — на початку та в кінці ділянки: а) при $x = 0$ (переріз A) $M_A = M(0) = -P \cdot (l - 0) = -P \cdot l$;

б) при $x = l$ (переріз B) $M_B = M(l) = -P \cdot (l - l) = 0$.

За цими даними будують епюру M . Зазначимо, що додатні ординати епюр Q та M відкладаються вгору від бази. На рис. 11.14 штриховою лінією AB_1 зображено балку в деформованому стані. З рисунка видно, що стиснутими є ниж-

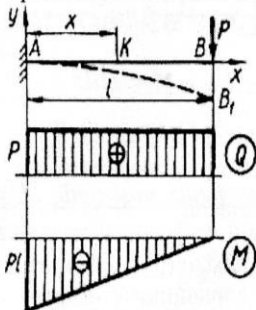


Рис. 11.14.

- 3) **защемлення** (жорстке затиснення або закріплення), де можуть бути три складові — **вертикальна** R_A і **горизонтальна** H_A **реакції** й **опорний момент** (момент защемлення) M_A (рис. 11.9, в). Таке закріплення не допускає ні лінійних ні кутових переміщень. Прикладом такої може бути закріплення балконів в будинках. Усі реакції та моменти вважаються прикладеними в **центрі тяжіння опорного перерізу** (в точці A на рис. 11.9).

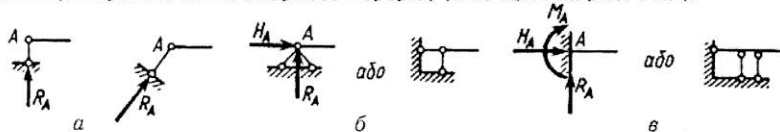


Рис. 11.9.

При конструюванні деталей машин, що спираються на опори, як балки, щоб не допускати виникнення температурних напружень, рекомендується застосовувати лише одну шарнірно-нерухома опору або защемлення, а решту опор слід ставити шарнірно-рухомими. **Балка статично визначувана** тоді, коли кількість невідомих опорних реакцій не перевищуватиме трьох; інакше — **статично невизначувана**. Балка, зображена на рис. 11.10, а, називається **нерозрізною** і є статично невизначуваною, оскільки має п'ять невідомих опорних реакцій: три в опорі A і по одній в опорах B та C . Поставивши в перерізі балки шарніри, наприклад, в точках D і E (рис. 11.10, б), матимемо статично визначувану шарнірну балку, бо кожний такий проміжний шарнір до трьох основних рівнянь статички додає одне додаткове рівняння: **сума моментів відносно центра шарніра від усіх сил, розміщених по один бік від нього, дорівнює нулю**.

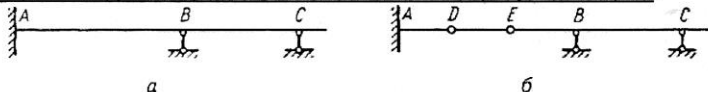


Рис. 11.10.

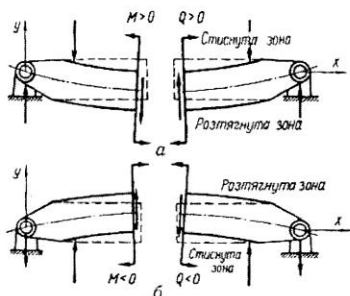


Рис. 11.11.

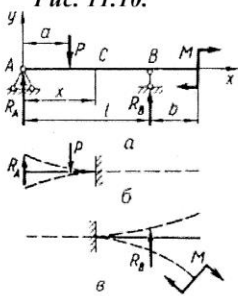


Рис. 11.12.

Правила знаків для поперечних зусиль Q та згинальних моментів M у балках: 1) поперечна сила Q у перерізі додатна, якщо її вектори намагаються обертати частини розсіченої балки за годинниковою стрілкою (рис. 11.11, а); 2) згинальний момент M у перерізі додатний, якщо він спричинює стиснення у верхніх волокнах балки, і напрямлений так, як зображено на рис. 11.11. Від'ємні напрями Q та M наведено на рис. 11.11, б.

Рекомендації для практичних розрахунків:

1. Якщо зовнішня сила намагається повернути балку відносно розглядуваного перерізу за годинниковою стрілкою, то у виразі для Q в цьому перерізі вона

момент у довільному перерізі K як наслідок дії сил ліворуч від перерізу K , матимемо:

$$Q(x) = R_A - q \cdot x = q \cdot \frac{l}{2} - q \cdot x = q \cdot \left(\frac{l}{2} - x \right), \quad (11.11)$$

$$M(x) = R_A \cdot x - q \cdot x \cdot \frac{x}{2} = \frac{q \cdot l}{2} \cdot x - \frac{q \cdot x^2}{2} = \frac{q}{2} \cdot (l \cdot x - x^2). \quad (11.12)$$

Очевидно, що епюра Q буде прямолінійна, а епюра M — параболічна.

Для побудови епюр дістаємо: $Q(0) = q \cdot \frac{l}{2}$; $Q\left(\frac{l}{2}\right) = 0$; $Q(l) = -q \cdot \frac{l}{2}$;

$$M(0) = 0; \quad M\left(\frac{l}{2}\right) = \frac{q}{2} \cdot \left(l \cdot \frac{l}{2} - \frac{l^2}{4} \right) = \frac{q \cdot l^2}{8}; \quad M(l) = \frac{q}{2} \cdot (l \cdot l - l^2) = 0.$$

Щоб визначити екстремальне значення згинального моменту, прирівняємо до нуля похідну від згинального моменту $M(x)$ по абсцисі x перерізу:

$$\frac{dM(x)}{dx} = \frac{d}{dx} \left[\frac{q}{2} \cdot (l \cdot x - x^2) \right] = \frac{q}{2} \cdot (l - 2 \cdot x) = 0, \quad \text{звідси } x_{\text{екст}} = \frac{l}{2}.$$

$$\text{похідна згинального моменту } \frac{d^2 M(x)}{dx^2} = \frac{d}{dx} \left[\frac{dM(x)}{dx} \right] = \frac{d}{dx} \left[\frac{q}{2} \cdot (l - 2 \cdot x) \right] = -q \text{ —}$$

від'ємна, то в перерізі балки при $x_{\text{екст}} = \frac{l}{2}$ згинальний момент буде максималь-

ний: $M_{\text{max}} = M\left(\frac{l}{2}\right) = \frac{q \cdot l^2}{8}$. Побудовані епюри поперечного зусилля та згинального моменту для даної двохопорної балки також наведено на рис. 11.16.

11.4.4. Зосереджена сила прикладена до двохопорної балки

Якщо до двохопорної балки AB в точці C прикладено зосереджену силу P (рис. 11.17), то, передусім, слід знайти опорні реакції, для чого складемо рівняння рівноваги:

$$1. M_B(\vec{R}_A) + M_B(\vec{P}) + M_B(\vec{R}_B) =$$

$$= -R_A \cdot l + P \cdot b + 0 = 0; \Rightarrow R_A = P \cdot \frac{b}{l};$$

$$2. M_A(\vec{R}_A) + M_A(\vec{P}) + M_A(\vec{R}_B) =$$

$$= 0 - P \cdot a + R_B \cdot l = 0; \Rightarrow R_B = P \cdot \frac{a}{l}.$$

У цьому разі маємо на балці дві ділянки.

Знаходимо Q та M у довільному перерізі K_1 розміщеному на ділянці AC ($0 \leq x < a$):

$$Q_1(x) = R_A = P \cdot \frac{b}{l}. \quad (11.13)$$

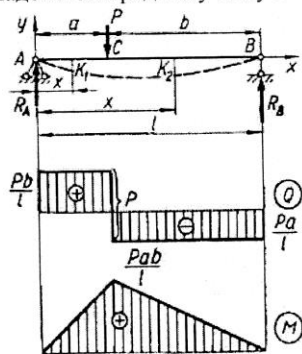


Рис. 11.17.

Отже, в усіх перерізах ділянки AC поперечні зусилля однакові й епюра Q має вигляд прямокутника. Згинальний момент $M(x)$ на ділянці AC змінюється

за лінійним законом: $M_1(x) = R_A \cdot x = P \cdot \frac{b}{l} \cdot x. \quad (11.14)$

Для побудови епюри згинального моменту визначимо ординати на межах

ні волокна балки. Якщо сумістити базову лінію епюри згинальних моментів з віссю балки, то епюра M буде мовби побудованою на стиснутих волокнах.

11.4.2. Рівномірно розподілене навантаження на консолі

Якщо на консоль діє рівномірно розподілене

навантаження інтенсивністю $q, \frac{H}{M}$ (рис. 11.15), то поперечне зусилля Q та згинальний момент M у довільному перерізі K визначатимемо як наслідок дії розподіленого навантаження ліворуч від перерізу:

$$Q(x) = -q \cdot AK = -q \cdot x, \quad (11.9)$$

$$M(x) = -q \cdot AK \cdot LK = -\frac{q \cdot AK^2}{2} = -\frac{q \cdot x^2}{2}. \quad (11.10)$$

Отже, поперечна зусилля $Q(x)$ змінюється за законом прямої лінії, а згинальний момент $M(x)$ — за параболічним законом. Для побудови епюри Q визначимо ординати в двох точках: а) при $x = 0$ (переріз A) $Q_A = Q(0) = -q \cdot 0 = 0$; б) при $x = l$ (переріз B) $Q_B = Q(l) = -q \cdot l$; і проводимо пряму.

Враховуючи, що епюра M криволінійна, для її побудови знаходимо ординати в трьох точках: а) при $x = 0$ (переріз A) $M_A = M(0) = -\frac{q \cdot 0^2}{2} = 0$;

$$\text{б) при } x = \frac{l}{2} \text{ (переріз } C) \quad M_C = M\left(\frac{l}{2}\right) = -\frac{q \cdot \left(\frac{l}{2}\right)^2}{2} = -\frac{q \cdot l^2}{8};$$

$$\text{в) при } x = l \text{ (переріз } B) \quad M_B = M(l) = -\frac{q \cdot l^2}{2},$$

і проводимо через добуті три точки криву. Це й буде епюра M .

11.4.3. Навантаження рівномірно розподілене по всій довжині прогону двохопорної балки

Якщо навантаження інтенсивністю $q, \frac{H}{M}$, рівномірно розподілено по всій довжині прогону двохопорної балки (рис. 11.16), то у цьому разі треба спочатку визначити опорні реакції. Рівнодійна всього розподіленого навантаження дорівнює $q \cdot l$, а лінія її дії проходить через середину балки. Тому рівняння рівноваги балки:

$$1. M_B(\vec{R}_A) + M_B(\vec{q} \cdot l) + M_B(\vec{R}_B) = \\ = -R_A \cdot l + q \cdot l \cdot \frac{l}{2} + 0 = 0; \Rightarrow R_A = q \cdot \frac{l}{2};$$

$$2. M_A(\vec{R}_A) + M_A(\vec{q} \cdot l) + M_A(\vec{R}_B) = \\ = 0 - q \cdot l \cdot \frac{l}{2} + R_B \cdot l = 0; \Rightarrow R_B = q \cdot \frac{l}{2}.$$

Обчислюючи поперечне зусилля і згинальний

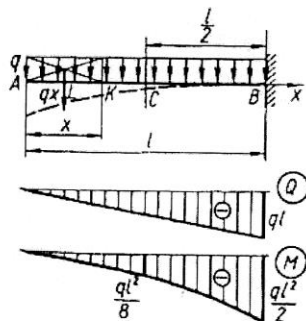


Рис. 11.15.

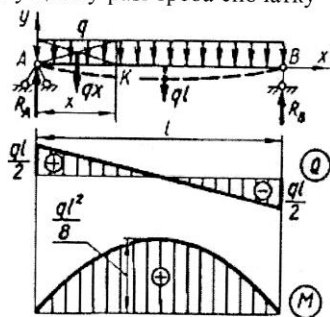


Рис. 11.16.

ділянки **AC**: а) при $x=0 \Rightarrow M_A = M(0) = P \cdot \frac{b}{l} \cdot 0 = 0$;

б) при $x=a \Rightarrow M_C = M(a) = P \cdot \frac{b}{l} \cdot a$.

У довільному перерізі K_2 на ділянці **CB** ($a < x \leq l$), розглядаючи дію сил, розміщених праворуч від нього, для поперечного зусилля та згинального моменту дістанемо:

$$Q_2(x) = -R_B = -P \cdot \frac{a}{l}, \quad (11.15)$$

$$M_2(x) = R_B \cdot K_2 B = P \cdot \frac{a}{l} \cdot (l-x). \quad (11.16)$$

До такого самого результату можна дійти, розглядаючи дію сил, розміщених ліворуч:

$$Q_2(x) = R_A - P = P \cdot \frac{b}{l} - P = P \cdot \left(\frac{b}{l} - 1 \right) = -P \cdot \frac{a}{l},$$

$$\begin{aligned} M_2(x) &= R_A \cdot AK_2 - P \cdot CK_2 = P \cdot \frac{b}{l} \cdot x - P \cdot (x-a) = P \cdot \left(\frac{b \cdot x}{l} - \frac{l \cdot x - l \cdot a}{l} \right) = \\ &= P \cdot \frac{b \cdot x - l \cdot x + l \cdot a}{l} = P \cdot \frac{(b-l) \cdot x + l \cdot a}{l} = P \cdot \frac{-a \cdot x + l \cdot a}{l} = P \cdot \frac{a}{l} \cdot (l-x). \end{aligned}$$

Епюра Q на ділянці **CB, як і на ділянці **AC**, має вигляд прямокутника. Для побудови епюри M знайдемо значення ординат моментів у перерізах **C** та **B**:**

а) при $x=a \Rightarrow M_C = P \cdot \frac{a}{l} \cdot (l-a) = P \cdot \frac{a}{l} \cdot b$;

б) при $x=l \Rightarrow M_B = P \cdot \frac{a}{l} \cdot (l-l) = 0$.

У результаті дістанемо епюри, які наведено на рис. 11.17. Вони показують, що при $x=a$ функція $Q(x)$ розривається і на епюрі Q має місце **стрибок**, що за модулем дорівнює зовнішній силі P у цьому перерізі:

$$P \cdot \frac{b}{l} + P \cdot \frac{a}{l} = P \cdot \frac{(b+a)}{l} = P \cdot \frac{l}{l} = P.$$

На епюрі M у цьому перерізі є **перелом** (кутова точка).

11.4.5. Зосереджений момент у прогоні двохопорної балки

Якщо у прогоні двохопорної балки **AB** прикладено зосереджений момент M_1 (рис. 11.18), то для побудови епор Q і M спершу знаходимо опорні реакції, напрямляючи їх угору. Для цього складемо рівняння рівноваги, як суми моментів відносно точок **A** і **B**:

$$\begin{aligned} 1. M_B(\overline{R_A}) + M_1 + M_B(\overline{R_B}) &= \\ &= -R_A \cdot l - M_1 + 0 = 0; \Rightarrow R_A = -\frac{M_1}{l}; \end{aligned}$$

$$\begin{aligned} 2. M_A(\overline{R_A}) + M_1 + M_A(\overline{R_B}) &= \\ &= 0 - M_1 + R_B \cdot l = 0; \Rightarrow R_B = \frac{M_1}{l}. \end{aligned}$$

Змінюємо напрям R_A на обернений.

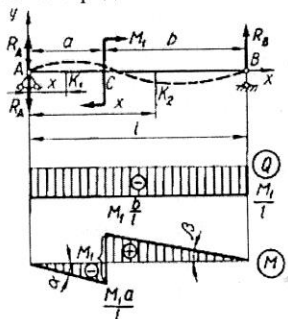


Рис. 11.18.

Помітивши на ділянках AC і CB довільні перерізи K_1 і K_2 , запишемо рівняння для функцій $Q(x)$ та $M(x)$:

а) для ділянки AC ($0 \leq x \leq a$) у перерізі K_1 (ліворуч) —

$$Q(x) = -R_A = -\frac{M_1}{l}; \quad M(x) = -R_A \cdot x = -\frac{M_1}{l} \cdot x. \quad (11.17)$$

б) для ділянки CB ($a \leq x \leq l$) у перерізі K_2 (праворуч) —

$$Q(x) = -R_B = -\frac{M_1}{l}; \quad M(x) = R_B \cdot K_2 B = \frac{M_1}{l} \cdot (l - x). \quad (11.18)$$

На підставі цих рівнянь будуюмо епюри Q та M . Епюра згинального моменту M розміщена частково під віссю, частково над віссю. Оскільки вона побудована на стиснутих волокнах (рис 11.18), бачимо, що на ділянці AC стиснутими є нижні волокна, а на ділянці CB — верхні. Цьому відповідає зображена штриховою кривою деформована вісь балки. У тому перерізі, де згинальний момент змінює знак, на осі буде точка перегину.

Тангенси кутів нахилу ділянок епюри згинального моменту до осі епюри

$$(\alpha \text{ і } \beta \text{ на рис 11.18) рівні між собою: } \tan \alpha = \frac{M_1 \cdot a}{l} = \frac{M_1 \cdot b}{l} = \frac{M_1}{l}, \quad (11.19)$$

а тому прямі на епюрі M на ділянках AC та CB паралельні. Там, де прикладений зовнішній момент (переріз C), на епюрі Q ніяких змін немає, функція $M(x)$ розривається, а на епюрі M має місце *стрибок*, що дорівнює значенню зовнішнього моменту. У тому разі коли момент прикладений в опорному перерізі, на підставі (11.17) і (11.18) при $a = 0$, дістанемо епюри, які зображено на рис. 11.19.

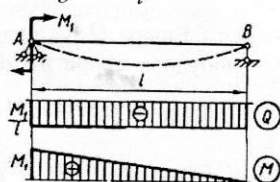


Рис. 11.19.

11.4.6. Зосереджені моменти на опорах однопрогнної балки

У випадку, коли на опорах однопрогнної балки AB діють зосереджені моменти $M_1 = M_2 = M$ (рис. 11.20), то для побудови епюр Q і M_z спершу знаходимо опорні реакції з рівнянь рівноваги балки:

$$1. M_B(\vec{R}_A) + M_1 + M_2 + M_B(\vec{R}_B) = -R_A \cdot l - M + M + 0 = 0; \Rightarrow R_A = 0;$$

$$2. M_A(\vec{R}_A) + M_1 + M_2 + M_A(\vec{R}_B) = 0 - M + M + R_B \cdot l = 0; \Rightarrow R_B = 0.$$

Тоді для довільного перерізу на відстані x від лівої опори

$$Q(x) = R_A = 0; \quad M_z(x) = M = \text{const}. \quad (11.20)$$

Отже, в будь-якому перерізі $Q = 0$, а згинальний момент однаковий по всій довжині балки. Таке згинання балки має назву *чистого згинання*.

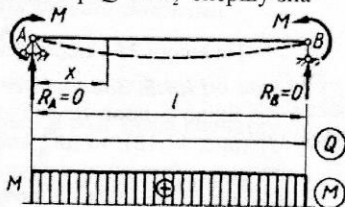


Рис. 11.20.